

# Структура постоянного тока

## Аннотация

| Рассматривается структура постоянного тока в проводе.

## Оглавление

1. Введение
  2. Математическая модель
  3. Решение уравнений
  4. Мощность
- Приложение  
Литература

## 1. Введение

В [1] было показано, что постоянный ток в проводе имеет сложную структуру и этим можно обосновать утверждения о том, что основной поток электромагнитной энергии

- направлен вдоль оси провода,
- распространяется вдоль оси провода,
- распространяется внутри провода,
- компенсирует тепловые потери осевой составляющей тока.

Ниже структура постоянного тока рассматривается более строго.

## 2. Математическая модель

Ток в проводе принято рассматривать как усредненный поток электронов. Механические взаимодействия электронов с атомами считаются эквивалентными электрическому сопротивлению.

При моделировании тока будем использовать цилиндрические координаты  $r$ ,  $\varphi$ ,  $z$ . Уравнения Максвелла для магнитных напряженностей и токов в стационарном магнитном поле имеют вид

$$\operatorname{div}(\mathbf{H}) = 0, \quad (1)$$

$$\operatorname{rot}(\mathbf{H}) = \mathbf{J}, \quad (2)$$

или

$$\frac{H_r}{r} + \frac{\partial H_r}{\partial r} + \frac{1}{r} \cdot \frac{\partial H_\varphi}{\partial \varphi} + \frac{\partial H_z}{\partial z} = 0, \quad (3)$$

$$\frac{1}{r} \cdot \frac{\partial H_z}{\partial \varphi} - \frac{\partial H_\varphi}{\partial z} = J_r, \quad (4)$$

$$\frac{\partial H_r}{\partial z} - \frac{\partial H_z}{\partial r} = J_\varphi, \quad (5)$$

$$\frac{H_\varphi}{r} + \frac{\partial H_\varphi}{\partial r} - \frac{1}{r} \cdot \frac{\partial H_r}{\partial \varphi} = J_z. \quad (6)$$

Модель основана на том, что

1. основная электрическая напряженность  $\hat{E}_z$  направлена вдоль оси торнадо,
2. она создает основной ток  $\hat{J}_z$  – вертикальный поток зарядов,
3. этот ток формирует кольцевое магнитное поле с напряженностью  $\hat{H}_\varphi$ ,
4. это магнитное поле отклоняет силами Лоренца заряды вертикального потока в радиальном направлении, создавая радиальный ток  $J_r$  – радиальный поток зарядов,
5. ток  $J_r$  формирует вертикальное магнитное поле  $H_z$  и дополнительное кольцевое магнитное поле с напряженностью  $H_\varphi$ , и дополнительное радиальное магнитное поле с напряженностью  $H_r$  - см. (4),
6. магнитное поле  $H_\varphi$  отклоняет силами Лоренца заряды радиального потока перпендикулярно радиусам, создавая кольцевой ток  $J_\varphi$  (дополнительно с п. 4),
7. магнитное поле  $H_r$  отклоняет силами Лоренца заряды радиального потока перпендикулярно радиусам, создавая кольцевой ток  $J_\varphi$ ,
8. этот ток также формирует дополнительное вертикальное магнитное поле  $H_z$  и дополнительное радиальное магнитное поле с напряженностью  $H_r$  - см. (5),
9. радиальному и кольцевому токам соответствуют радиальная и кольцевая электрические напряженности  $E_r$  и  $E_z$ , т.е.

$$E = \rho \cdot J, \quad (7)$$

где  $\rho$  - электросопротивление.

Таким образом, основное поле  $\hat{H}_\varphi$  создает дополнительные токи  $J_r, J_\varphi, J_z$  дополнительные магнитные поля  $H_r, H_\varphi, Y_z$ . Они должны удовлетворять уравнениям Максвелла (3-6). Кроме того, токи должны удовлетворять условию непрерывности

$$\operatorname{div}(J) = 0, \quad (8)$$

Прежде всего, необходимо доказать, что решение системы (3-8) существует при ненулевых токах  $J_r, J_\varphi, J_z$ .

### 3. Решение уравнений

Из физических соображений ясно, что поле должно быть однородным вдоль вертикальной оси, т.е. должны отсутствовать производные по аргументу  $z$ , и, следовательно, уравнения (3-6, 8) должны быть переписаны в виде:

$$\frac{H_r}{r} + \frac{\partial H_r}{\partial r} + \frac{1}{r} \cdot \frac{\partial H_\varphi}{\partial \varphi} = 0, \quad (9)$$

$$\frac{1}{r} \cdot \frac{\partial H_z}{\partial \varphi} = J_r, \quad (10)$$

$$-\frac{\partial H_z}{\partial r} = J_\varphi, \quad (11)$$

$$\frac{H_\varphi}{r} + \frac{\partial H_\varphi}{\partial r} - \frac{1}{r} \cdot \frac{\partial H_r}{\partial \varphi} = J_z, \quad (12)$$

$$\frac{J_r}{r} + \frac{\partial J_r}{\partial r} + \frac{1}{r} \cdot \frac{\partial J_\varphi}{\partial \varphi} = 0 \quad (13)$$

Решение системы уравнений дано в приложении 1, где показано, что при данных  $j_\varphi, h_\varphi$  определены

$$H_r = \frac{\alpha}{2} h_\varphi r \sin(\alpha\varphi) \quad (14)$$

$$H_\varphi = h_\varphi r \cos(\alpha\varphi) \quad (15)$$

$$H_z = -\frac{1}{2} j_\varphi r^2 \sin(\alpha\varphi) \quad (16)$$

$$J_r = -\frac{\alpha}{2} j_\varphi r \cos(\alpha\varphi), \quad (17)$$

$$J_\varphi = j_\varphi r \sin(\alpha\varphi). \quad (18)$$

$$J_z = h_\varphi \left( (1 - \alpha^2/2) \cos(\alpha\varphi) - \alpha \sin(\alpha\varphi) \right). \quad (19)$$

### 3. Структура токов

На основе уравнений (17-19) рассмотрим распределение токов в объеме цилиндрического провода. Все примеры показаны при  $j_\varphi = 1$ ,  $h_\varphi = 1$ ,  $\alpha = 10$ ,  $R = 50$ .

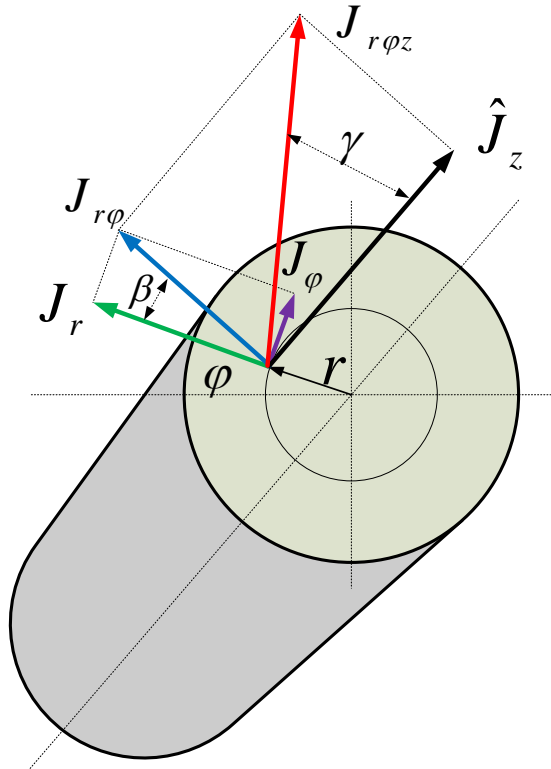
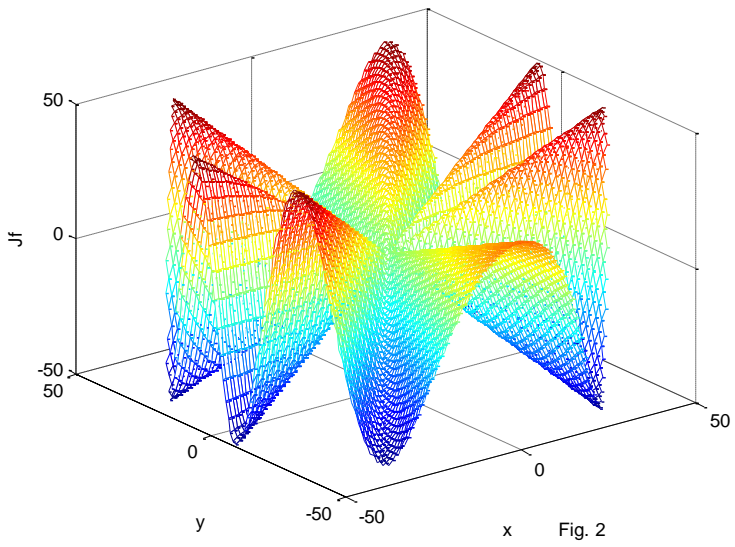
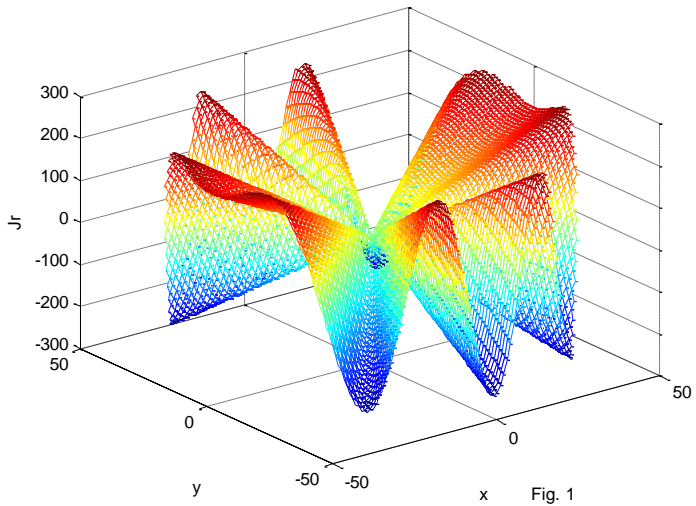


Рис. 0.

Величиной тока  $J_z$  можно пренебречь по сравнению с величиной основного тока  $\hat{J}_z$ . Поэтому на рис. 0 показаны векторы токов  $J_r$ ,  $J_\varphi$ ,  $\hat{J}_z$ . На этом рисунке при фиксированном значении  $\varphi$  показаны также вектор  $J_{r\varphi}$  (равный сумме векторов  $J_r$  и  $J_\varphi$ ) и вектор  $J_{r\varphi z}$  (равный сумме векторов  $J_{r\varphi}$  и  $\hat{J}_z$ ). Вектор  $J_{r\varphi}$  составляет с радиусом угол  $\beta$ . Видно, что вектор  $J_{r\varphi z}$  направлен под некоторым углом  $\gamma$  к оси цилиндра.



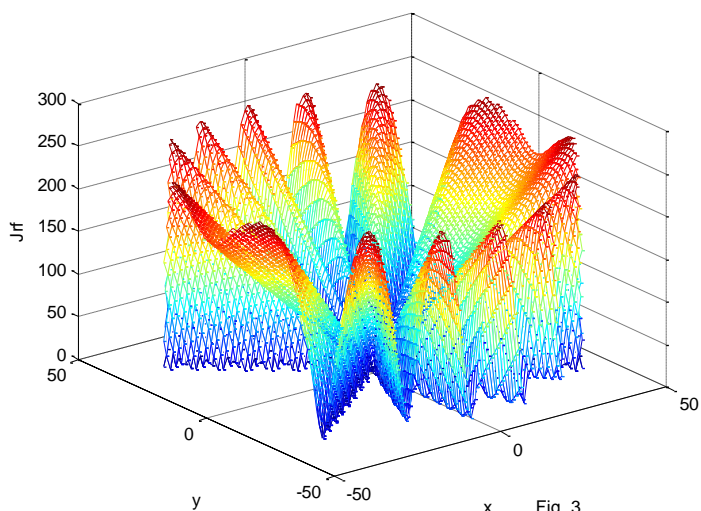


Fig. 3

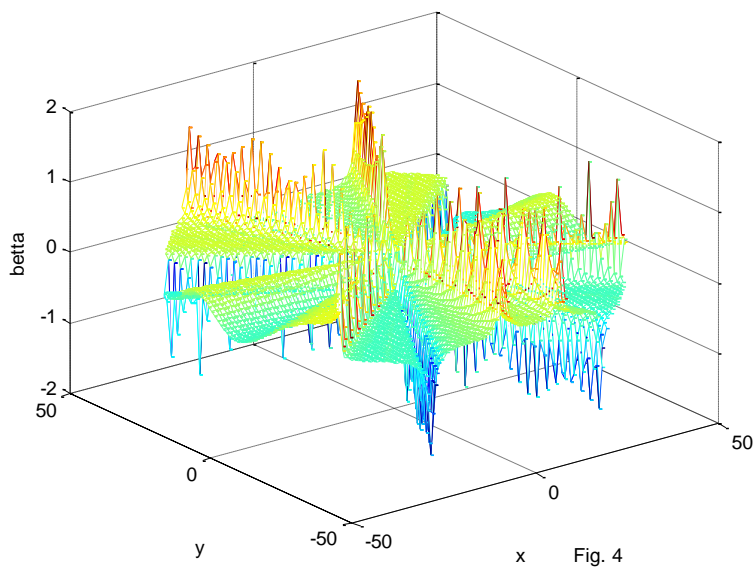


Fig. 4

На рис. 1, 2, 3, 4 показаны величины  $J_r$ ,  $J_\varphi$ ,  $J_{r\varphi}$ ,  $\beta$  на плоскости сечения  $(r, \varphi)$ . На рис. 5 показаны линии тока на этой плоскости при  $\alpha = 8$ . Видно, что непрерывность линий тока соблюдается – см. (13).

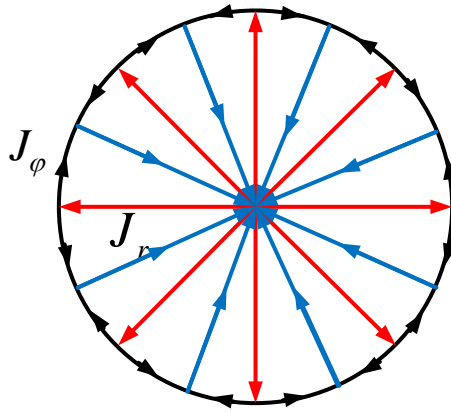


Рис. 5.

На рис. 6 показана величина  $J_z$  на плоскости сечения  $(r, \varphi)$ . На рис. 7, 8 показаны величины  $J_{r\varphi z}$ ,  $\gamma$  на плоскости сечения  $(r, \varphi)$  при  $\hat{J}_z = 500$ . Видно, что линии тока  $J_{r\varphi z}$  всегда наклонены к оси цилиндра. Именно этот факт был основным аргументом при обосновании указанных во введении выводов статьи [8]

Заметим, что существуют случаи, когда угол  $\gamma$  является постоянным. Например, на рис. 9, 10 показаны величины  $J_{r\varphi z}$ ,  $\gamma$  при  $\alpha = 2$ .

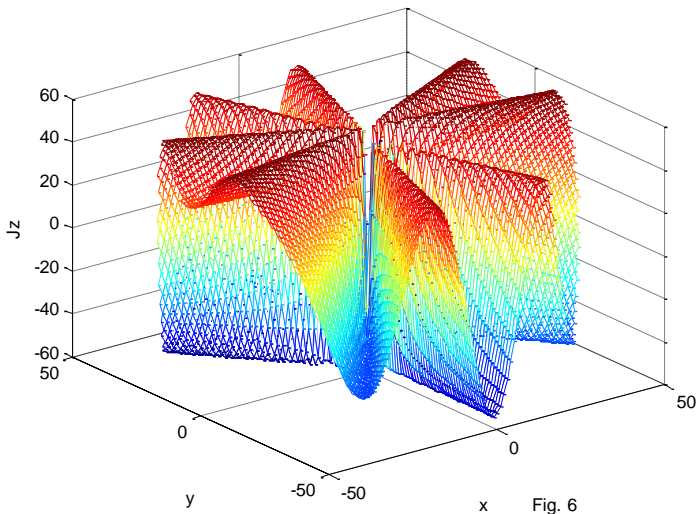
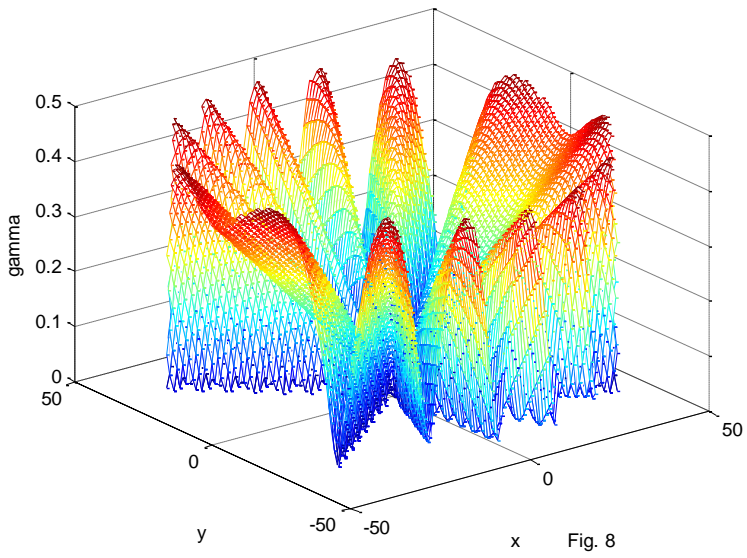
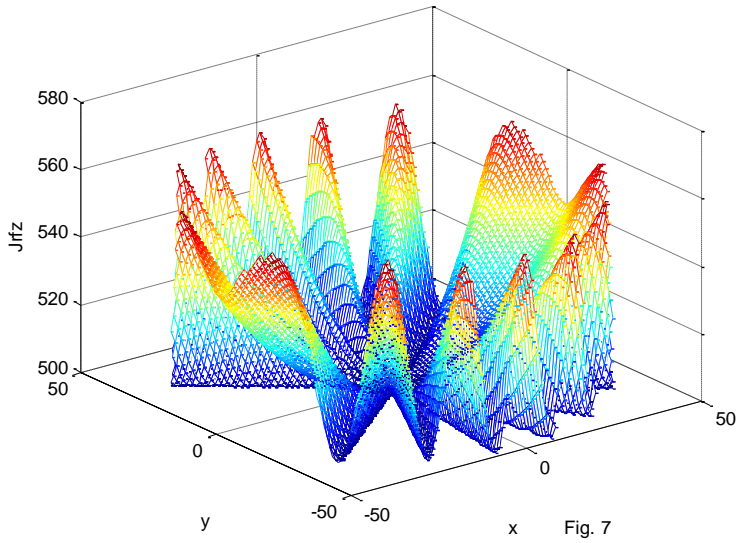


Fig. 6





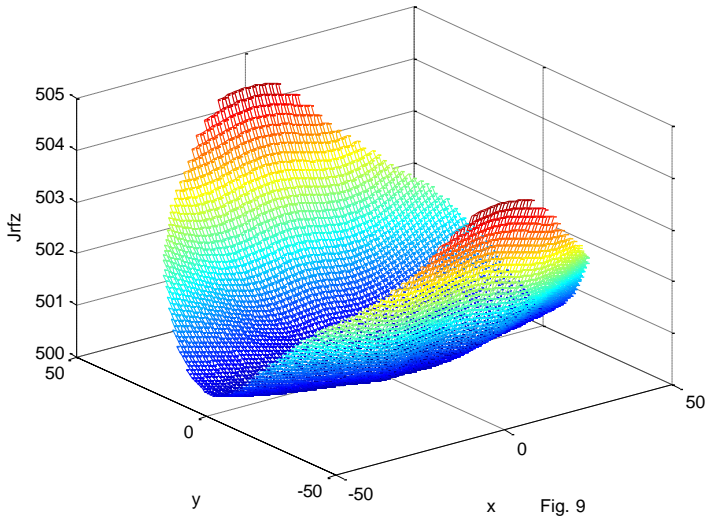


Fig. 9

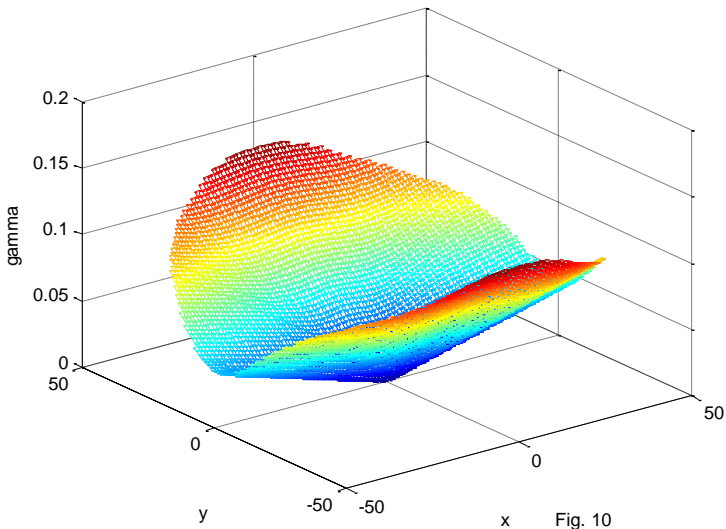


Fig. 10

### 3. Мощность

Энергия токов расходуется на компенсацию тепловых потерь. Найдем электрическую мощность потерь. Очевидно, плотность мощности равна следующему интегралу по площади сечения провода:

$$P = \int_0^R r dr \left( \int_0^{2\pi} (J_r^2 + J_\varphi^2 + J_z^2) d\varphi \right), \quad (20)$$

где  $R$  - внешний радиус провода. Найдем

$$P_r = \int_0^R r dr \int_0^{2\pi} (J_r)^2 d\varphi = \frac{\alpha^2}{4} j_\varphi^2 \int_0^R r dr \int_0^{2\pi} (r \cos(\alpha\varphi))^2 d\varphi = \frac{\pi\alpha^2}{4} j_\varphi^2 \int_0^R r^3 dr$$

или

$$P_r = \frac{\pi\alpha^2 R^4}{16} j_\varphi^2. \quad (21)$$

Аналогично,

$$P_\varphi = \frac{\pi R^4}{4} j_\varphi^2. \quad (22)$$

Далее,

$$P_{z\varphi} = \int_0^{2\pi} (J_z)^2 d\varphi = h_\varphi^2 \int_0^{2\pi} \left( \begin{pmatrix} (1 - \alpha^2/2)\cos(\alpha\varphi) \\ -\alpha \sin(\alpha\varphi) \end{pmatrix} \right)^2 = \pi h_\varphi^2 \left( (1 - \alpha^2/2)^2 + \alpha^2 \right)$$

или

$$P_{z\varphi} = \pi h_\varphi^2 \left( 1 + \alpha^4/4 \right). \quad (24)$$

Тогда

$$P_z = \int_0^R P_{z\varphi} r dr = h_\varphi^2 \frac{\pi R^2}{2} \left( 1 + \alpha^4/4 \right). \quad (25)$$

Итак,

$$P = P_r + P_\varphi + P_z = \frac{\pi\alpha^2 R^4}{16} j_\varphi^2 + j_\varphi^2 \frac{\pi R^4}{4} + h_\varphi^2 \frac{\pi R^2}{2} \left( 1 + \alpha^4/4 \right)$$

или

$$P = \pi R^2 \left[ j_\varphi^2 R^2 \left( \frac{1}{4} + \frac{\alpha^2}{16} \right) + h_\varphi^2 \left( 1 + \frac{\alpha^4}{4} \right) \right] \quad (25)$$

Энергия, расходуемая силами Лоренца для создания дополнительных токов  $J_r$ ,  $J_\varphi$ ,  $J_z$ , доставляется основным током  $\hat{J}_z$ . Следовательно, создание дополнительных токов эквивалентно увеличению сопротивления на некоторую величину. Этот факт можно записать в следующем виде:

$$(\rho + \Delta\rho)\pi R^2 \hat{J}_z^2 = \rho \cdot P. \quad (26)$$

Из (25, 26) следует, что

$$\left( 1 + \frac{\Delta\rho}{\rho} \right) \hat{J}_z^2 = \left[ j_\varphi^2 R^2 \left( \frac{1}{4} + \frac{\alpha^2}{16} \right) + h_\varphi^2 \left( 1 + \frac{\alpha^4}{4} \right) \right]. \quad (27)$$

Нам не известно соотношение между величинами  $j_\varphi, h_\varphi, \frac{\Delta\rho}{\rho}$ .

Для оценки результата предположим, что

$$j_\varphi^2 R^2 = h_\varphi^2. \quad (28)$$

Тогда из (27) получим:

$$\left(1 + \frac{\Delta\rho}{\rho}\right) \hat{J}_z^2 = h_\varphi^2 \left[ \left(\frac{1}{4} + \frac{\alpha^2}{16}\right) + \left(1 + \frac{\alpha^4}{4}\right) \right]. \quad (29)$$

При достаточно малом  $\frac{\Delta\rho}{\rho}$  и достаточно большом  $\alpha$  получим:

$$h_\varphi \approx \frac{2\hat{J}_z}{\alpha^2}. \quad (30)$$

Таким образом, существуют условия, при которых рассматриваемая структура тока возможна.

## Приложение

Рассматривается решение уравнений (3-6, 8). Из физических соображений ясно, что поле должно быть однородным вдоль вертикальной оси, т.е. должны отсутствовать производные по аргументу  $z$ , и, следовательно, уравнения (3-6, 8) должны быть переписаны в виде:

$$\frac{H_r}{r} + \frac{\partial H_r}{\partial r} + \frac{1}{r} \cdot \frac{\partial H_\varphi}{\partial \varphi} = 0, \quad (31)$$

$$\frac{1}{r} \cdot \frac{\partial H_z}{\partial \varphi} = J_r, \quad (32)$$

$$-\frac{\partial H_z}{\partial r} = J_\varphi, \quad (33)$$

$$\frac{H_\varphi}{r} + \frac{\partial H_\varphi}{\partial r} - \frac{1}{r} \cdot \frac{\partial H_r}{\partial \varphi} = J_z, \quad (34)$$

$$\frac{J_r}{r} + \frac{\partial J_r}{\partial r} + \frac{1}{r} \cdot \frac{\partial J_\varphi}{\partial \varphi} = 0 \quad (35)$$

Предположим, что

$$H_r = h_r r \sin(\alpha\varphi) \quad (36)$$

$$H_\varphi = h_\varphi r \cos(\alpha\varphi) \quad (37)$$

Из (31, 34, 36, 37) следует:

$$\frac{h_r r \sin(\alpha\varphi)}{r} + h_r \sin(\alpha\varphi) - h_\varphi \alpha \sin(\alpha\varphi) = 0, \quad (38)$$

---

Следовательно,

$$h_r = h_\varphi \alpha / 2 \quad (39)$$

$$\frac{h_\varphi r \cos(\alpha\varphi)}{r} - h_\varphi \alpha \sin(\alpha\varphi) - h_r \alpha \cos(\alpha\varphi) = J_z, \quad (40)$$

Из (39, 40) следует:

$$-h_\varphi \alpha \sin(\alpha\varphi) + (h_\varphi - h_r \alpha) \cos(\alpha\varphi) = J_z,$$

или

$$J_z = h_\varphi \left( (1 - \alpha^2 / 2) \cos(\alpha\varphi) - \alpha \sin(\alpha\varphi) \right), \quad (46)$$

Предположим, далее, что

$$J_{r.} = j_r r \cos(\alpha\varphi), \quad (47)$$

$$J_{\varphi.} = j_\varphi r \sin(\alpha\varphi). \quad (48)$$

Из (35, 47, 48) следует:

$$\frac{j_r r \cos(\alpha\varphi)}{r} + j_r \cos(\alpha\varphi) + j_\varphi \alpha \cos(\alpha\varphi) = 0, \quad (49)$$

Следовательно,

$$j_r = -j_\varphi \alpha / 2 \quad (50)$$

Из (32, 33, 47, 48) находим

$$\frac{\partial H_z}{\partial \varphi} = j_r r^2 \cos(\alpha\varphi), \quad (51)$$

$$\frac{\partial H_z}{\partial r} = -j_\varphi r \sin(\alpha\varphi), \quad (52)$$

Из (50, 51) следует, что

$$\frac{\partial H_z}{\partial \varphi} = -\frac{\alpha}{2} j_\varphi r^2 \sin(\alpha\varphi) \quad (42)$$

Из (50, 52) следует, что

$$H_z = -\frac{1}{2} j_\varphi r^2 \sin(\alpha\varphi) \quad (53)$$

## Литература

1. Хмельник С.И. Поток электромагнитной энергии в проводнике с постоянным током, «Доклады независимых авторов», изд. «DNA», ISSN 2225—6717, Россия – Израиль, 2015, вып. 32. ISBN 978-1-312-19894-4, printed in USA, Lulu Inc., ID 16319679; <http://vixra.org/pdf/1503.0048v1.pdf>